

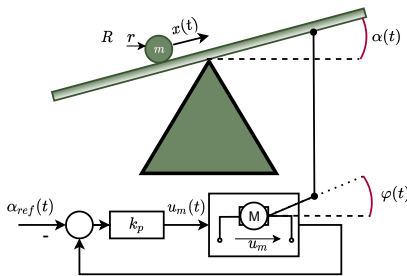
Gulička na tyči

Juraj Marušic, *marusjur@fel.cvut.cz*, CVUT FEL KYR

I. ÚVOD

ZADANÍM tejto práce bolo analyzovať, identifikovať a navrhnúť riadenie pre virtuálnu simuláciu fyzikálnej sústavy guličky na tyči. Všetky časti tejto úlohy boli vykonané a na zadanom MATLAB Simulink modeli systému gulička na tyči, ktorý bude v texte označovaný ako virtuálny model. Spolu so Simulink modelom, nám boli dodané diferenciálne rovnice systému. Diagram systému podľa písomného zadania, môže byť zakreslený ako na Obr. 1. Jedná sa o systém typu SIMO, s jednou vstupnou veličinou $\alpha_{ref}[\circ]$, ktorá značí požadovaný uhol naklonenia tyče. A dvoma výstupnými: skutočný uhol naklonenia tyče $\alpha[\circ]$ a poloha guličky $x[cm]$.

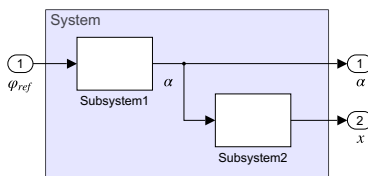
Virtuálny model je typu Black Box, takže nebolo možné nahliadnúť na jeho parametre. Preto boli použité rôzne metódy na jeho analýzu a identifikáciu, ktoré sa rozoberajú v prvej polovici tejto práce. Zvyšok práce sa zaoberá návrhom regulátorov. Zadaním bolo navrhnúť tri regulátory, troma rôznymi metódami. Aspoň jeden regulátor by mal dosahovať nulovej regulačnej odchylky v ustálenom stave na virtuálnom modeli a u zvyšných je maximálna povolená odchylka 10% z referencie. Zároveň aspoň jeden regulátor by mal dosahovať nulovej ustálenej odchylky pri skoku poruchy na vstupe sústavy. Tieto podmienky boli splnené a pri návrhu sme sa snažili docieľiť minimálnej doby ustálenia a minimálneho prekmitu pri skoku referencie.



Obr. 1: Diagram fyzikálneho modelu guličky na tyči podľa zadania.

II. MATEMATICKÝ MODEL

Systém guličky na tyči je možné rozdeliť na dva podsystémy, znázornené na Obr. 2.



Obr. 2: Diagram modelu systému.

Pre polohový servopohon podľa zadania platia diferenciálne rovnice:

$$L \frac{di(t)}{dt} = -Ri(t) - k_e \dot{\varphi}(t) + k_p(\alpha_{ref}(t) - \alpha(t)) \quad (1)$$

$$J_m \ddot{\varphi}(t) = k_m i(t) - b \dot{\varphi}(t) \quad (2)$$

kde, $\alpha_{ref}[\circ]$ je vstupný požadovaný uhol naklonenia tyče, $\alpha[\circ]$ je uhol náklonu tyče, $k_\alpha[-]$ je pevný prevod prevodu medzi uhlom natočenia hriadele motoru a uhlom náklonu tyče, $i[A]$ je prúd motoru, $\varphi[\circ]$ je výstupný uhol natočenia hriadele motoru, $\dot{\varphi}[rads^{-1}]$ je uhlová rýchlosť hriadele motoru, $\ddot{\varphi}[rads^{-2}]$ je uhlové zrýchlenie hriadele motoru, $R[\Omega]$ je odpor motoru, $L[H]$ je indukčnosť motoru, $J_m[kgm^2]$ je moment zotrvačnosti motoru, $b[Nmsrad^{-1}]$ je konštanta trenia motoru, $k_e[Vsrad^{-1}]$ je elektrická konštanta motoru, $k_m[NmA^{-1}]$ je mechanická konštanta motoru a $k_p[Vrad^{-1}]$ je zosilnenie regulátora polohy servopohonu.

Pri identifikácii prenosu polohového servopohonu bolo zistené, že zadaná diferenciálna rovnica neodpovedá správaniu virtuálneho modelu. Vstupný požadovaný uhol náklonu nie je $\alpha_{ref}[\circ]$, ale $\varphi_{ref}[\circ]$, teda požadovaný uhol natočenia hriadele servopohonu. Analýza tejto problematiky je uvedená v Dodatku A a táto domnienka bola potvrdená cvičiacim Ing. D. Efremovom. Vďaka tomuto poznatku budem ďalej pracovať s upravenou diferenciálnou rovnicou (1), ako:

$$L \frac{di(t)}{dt} = -Ri(t) - k_e \dot{\varphi}(t) + k_p(\varphi_{ref}(t) - \varphi(t)) \quad (3)$$

Pre pohyb guličky po tyči platí podľa zadania diferenciálna rovnica:

$$\left(m + \frac{J_b}{r^2}\right) \ddot{x}(t) = mg \sin \alpha(t) - b_k \dot{x}(t) - \text{sign} \dot{x}(t) \xi_k \frac{mg}{r} \quad (4)$$

kde $r[m]$ je polomer guličky, $m[kg]$ je hmotnosť guličky, $J_b[kgm^2]$ je moment zotrvačnosti guličky, daný vzťahom:

$$J_b = \frac{2}{5} r^2 m \quad (5)$$

ďalej $g[ms^{-2}]$ je gravitačné zrýchlenie, dané tabuľkovou hodnotou $g = 9,80665ms^{-2}$, $b_k[kgs^{-1}]$ je odpor prostredia úmerný rýchlosti guličky, $\xi_k[m]$, je koeficient valivého odporu ramena.

Skúmaním virtuálneho modelu sa zistilo, že rovnica popisujúca pohyb guličky po tyči nie je úplne presná. Podľa zadanej diferenciálnej rovnice, by mala vzdialenosť $x[cm]$ stúpať pri kladnom uhle náklonu tyče, avšak opak je pravdou. Vzdialenosť guličky je inak zadaná v zadaní než v Simulink modeli a pri kladnom referenčnom uhle vzdialenosť guličky

klesá. Preto diferenciálna rovnica, ktorá popisuje chovanie virtuálneho modelu je:

$$\left(m + \frac{J_b}{r^2}\right) \ddot{x}(t) = -mg \sin \alpha(t) - b_k \dot{x}(t) - \text{sign} \dot{x}(t) \xi_k \frac{mg}{r} \quad (6)$$

Táto diferenciálna rovnica bola odvodená v Dodatku B.

Ďalej platí, že uhol α nie je priamo merateľný a medzi φ a uhlom α je pevný prevod:

$$\alpha(t) = k_\alpha \varphi(t) \quad (7)$$

III. STAVOVÉ ROVNICE

A. Polohový servopohon

Diferenciálne rovnice uvedené v predošlej časti, môžeme zjednodušiť pred vytvorením stavového popisu systému. Rovnicu (5) zjednodušíme na základe príkladu uvedeného v literatúre [2].

$$\begin{aligned} 0 &= -Ri(t) - k_e \dot{\varphi}(t) + k_p(\varphi_{ref}(t) - \varphi(t)) \\ &= -Ri(t) - k_e \dot{\varphi}(t) + u_m(t) \end{aligned} \quad (8)$$

Kde u_m je napätie na servopohone, dané:

$$u_m = k_p(\varphi_{ref}(t) - \varphi(t)) \quad (9)$$

Z toho vyplýva, že diferenciálne rovnice popisujúce polohový servopohon môžu byť zjednodušené na:

$$J_m \ddot{\varphi}(t) + \left(\frac{k_m k_e}{r} + b\right) \dot{\varphi}(t) = \frac{k_m u_m(t)}{R} \quad (10)$$

Diferenciálna rovnica pre uhol α bude mať nasledovný tvar:

$$\alpha = k_\alpha \varphi \quad (11)$$

$$\ddot{\varphi} = -\frac{k_m k_p}{R J_m} \varphi - \left(\frac{k_m k_e}{R J_m} + \frac{b}{J_m}\right) \dot{\varphi} + \frac{k_m k_p}{R J_m} \varphi_{ref} \quad (12)$$

Stavový popis je vyjadrený v základných veličinách, teda jednotka stupňov je *rad* a jednotka výstupnej veličiny x je v m . Bude používané nasledovné značenie:

$$u = \varphi_{ref}; \quad y_1 = k_\alpha \varphi; \quad (13)$$

$$x_1 = \varphi; \quad x_2 = \dot{\varphi} \quad (14)$$

Stavové rovnice pre polohový servopohon budú v tvare:

$$\dot{x}_1 = x_2 \quad (15)$$

$$\dot{x}_2 = -\frac{k_m k_p}{R J_m} x_1 - \left(\frac{k_m k_e}{R J_m} + \frac{b}{J_m}\right) x_2 + \frac{k_m k_p}{R J_m} u \quad (16)$$

$$y_1 = x_1 \quad (17)$$

B. Gulička na tyči

Dosadením vzťahu pre moment zotrvačnosti (5) do vzťahu (4), je získaná rovnica pohybu guličky na tyči:

$$\frac{7}{5} m \ddot{x}(t) = -mg \sin \alpha(t) - b_k \dot{x}(t) - \text{sign} \dot{x}(t) \xi_k \frac{mg}{r} \quad (18)$$

Diferenciálna rovnica pre polohu x bude mať nasledovný tvar:

$$\ddot{x} = -\frac{5}{7} g \sin \alpha - \frac{5}{7} \frac{b_k}{m} \dot{x} - \frac{5}{7m} \text{sign} \dot{x} \xi_k \frac{g}{r} \quad (19)$$

Bude používané nasledovné značenie:

$$x_3 = x; \quad x_4 = \dot{x}; \quad y_2 = x \quad (20)$$

Stavové rovnice pohybu guličky na tyči budú v tvare:

$$\dot{x}_3 = x_4 \quad (21)$$

$$\dot{x}_4 = -\frac{5}{7} g \sin k_\alpha x_1 - \frac{5}{7} \frac{b_k}{m} x_4 - \frac{5}{7m} \text{sign} x_4 \xi_k \frac{g}{r} \quad (22)$$

$$y_2 = x_3 \quad (23)$$

IV. LINEARIZÁCIA

Stavové rovnice odvodené v predošlej sekcii zlinearizujeme v pracovnom bode $P_{op} = [\varphi_0, \dot{\varphi}_0, x_0, \dot{x}_0] = [0, 0, 0, 0]$, takže stav, kedy tyč nie je naklonená a guľička sa nachádza v jej strede. Pracovný bod bol vybraný na základe toho, že pri nulových počiatočných podmienkach systému, je v tomto bode guľička stabilná a regulácia polohy guľičky bude prebiehať práve v okolí tohoto bodu.

Pre linearizovaný stavový popis vytvorím matice **A**, **B**, **C**, **D**:

$$\begin{aligned} \mathbf{A} &= \begin{pmatrix} \frac{\partial \dot{x}_1}{\partial x_1} & \cdots & \frac{\partial \dot{x}_1}{\partial x_4} \\ \vdots & \ddots & \vdots \\ \frac{\partial \dot{x}_4}{\partial x_1} & \cdots & \frac{\partial \dot{x}_4}{\partial x_4} \end{pmatrix} \bigg|_{P_{op}}; \quad \mathbf{B} = \begin{pmatrix} \frac{\partial \dot{x}_1}{\partial u} \\ \vdots \\ \frac{\partial \dot{x}_4}{\partial u} \end{pmatrix} \bigg|_{P_{op}}; \\ \mathbf{C} &= \begin{pmatrix} \frac{\partial y_1}{\partial x_1} & \cdots & \frac{\partial y_1}{\partial x_4} \\ \frac{\partial y_2}{\partial x_1} & \cdots & \frac{\partial y_2}{\partial x_4} \end{pmatrix} \bigg|_{P_{op}}; \quad \mathbf{D} = \begin{pmatrix} \frac{\partial y_1}{\partial u} & \frac{\partial y_2}{\partial u} \end{pmatrix} \bigg|_{P_{op}} \end{aligned} \quad (24)$$

Parciálne derivácie boli vyčíslené pre pracovný bod P_{op} .

$$\mathbf{A} = \begin{pmatrix} 0 & 1 & 0 & 0 \\ -\frac{k_m k_p}{J_m R} & -\frac{b}{J_m} - \frac{k_e k_m}{J_m R} & 0 & 0 \\ 0 & 0 & 0 & 1 \\ -\frac{5 g k_\alpha}{7} & 0 & 0 & -\frac{5 b_k}{7 m} \end{pmatrix} \quad (25)$$

$$= \begin{pmatrix} 0 & 1 & 0 & 0 \\ k_{x21} & k_{x22} & 0 & 0 \\ 0 & 0 & 0 & 1 \\ k_{x41} & 0 & 0 & k_{x44} \end{pmatrix}$$

$$\mathbf{B} = \begin{pmatrix} 0 \\ \frac{k_m k_p}{J_m R} \\ 0 \\ 0 \end{pmatrix} = \begin{pmatrix} 0 \\ k_{x2u} \\ 0 \\ 0 \end{pmatrix} \quad (26)$$

$$\mathbf{C} = \begin{pmatrix} k_\alpha & 0 & 0 & 0 \\ 0 & 0 & 1 & 0 \end{pmatrix} \quad (27)$$

$$\mathbf{D} = \begin{pmatrix} 0 \\ 0 \end{pmatrix} \quad (28)$$

Zároveň bola vykonaná aproximácia pre $\sin \alpha \approx \alpha$, ktorá platí pre malé hodnoty uhlov v radiánoch. Zlinearizovaný stavový popis systému je v tvare:

$$\Delta \vec{x}(t) = \mathbf{A} \Delta \vec{x}(t) + \mathbf{B} \Delta u(t) \quad (29)$$

$$\Delta \vec{y}(t) = \mathbf{C} \Delta \vec{x}(t) + \mathbf{D} \Delta u(t) \quad (30)$$

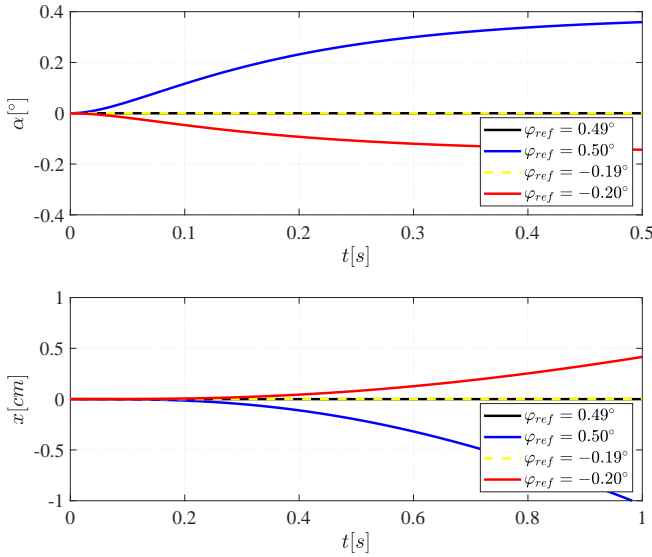
Kde $\vec{x}(t)$ je vektor stavových premenných a $\vec{y}(t)$ je vektor výstupných premenných stavového popisu.

V. STATICKÉ NELINEARITY

Každý fyzikálny systém má množstvo obmedzení, ktoré v rámci identifikácie a modelovania považujeme za nelinearity. Virtuálny model guľičky na tyči je navrhnutý spoločne s týmito nelinearitami, aby reprezentoval reálnu fyzikálnu sústavu. Táto časť sa zaoberá identifikáciou statických nelinearít, teda obmedzení systému, ktoré sa časom nemenia.

A. Pásmo necitlivosti

Pásmo necitlivosti je prirodzenou vlastnosťou mechanických systémov s trením. Určuje rozsah hodnôt vstupnej veličiny, ktoré nie sú dostatočne veľké na to aby systém prekonal odpor trenia. Pásmo necitlivosti bolo zistené sledovaním odozvy systému pre malé hodnoty vstupov $\varphi_{ref} [^\circ]$.



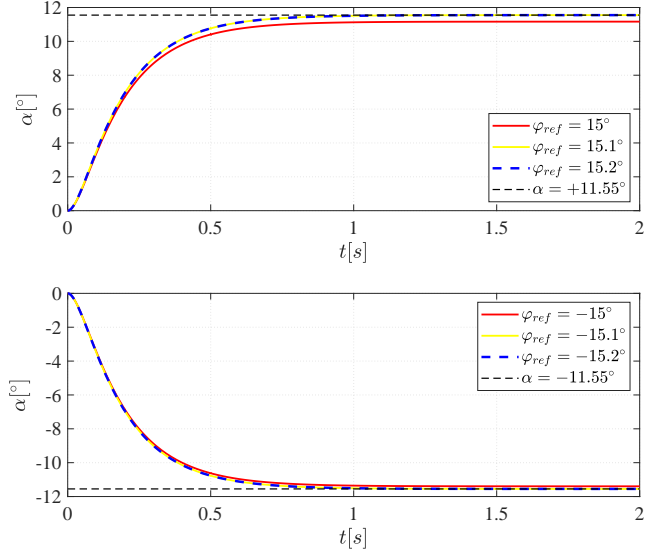
Obr. 3: Porovnanie odoziev $x[cm]$, $\alpha[^\circ]$ na skoky malých hodnôt $\varphi_{ref}[^\circ]$.

Pásmo necitlivosti systému bolo identifikované pre vstup $\varphi_{ref} \in (-0,2; 0,5) [^\circ]$. Vplyv pásma necitlivosti na vsup systému, môže byť zapísaný:

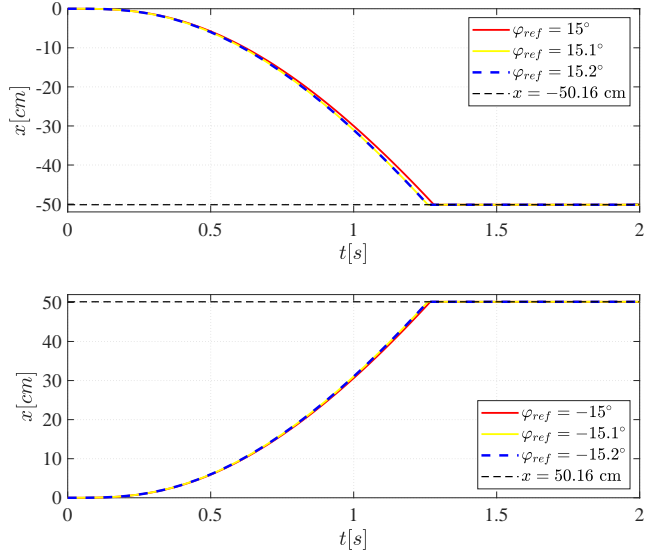
$$\varphi_{rref}(t) = \begin{cases} \varphi_{ref}(t) - 0,5^\circ, & \text{ak } \varphi_{ref}(t) > 0,5^\circ \\ \varphi_{ref}(t) + 0,2^\circ, & \text{ak } \varphi_{ref}(t) < -0,2^\circ \\ 0^\circ, & \text{inak.} \end{cases} \quad (31)$$

B. Saturácia na vstupe

Saturácia na vstupe určuje rozsah vstupných hodnôt, ktoré neovplyvňujú výstupnú veličinu, kvôli fyzikálnym obmedzeniam, ktoré systém má. V našom prípade to môže byť maximálny rozsah prevodového systému z polohového servo motoru na tyč a jej dĺžka.



Obr. 4: Porovnanie odoziev $\alpha[^\circ]$ na skoky hodnôt $\varphi_{ref}[^\circ]$.



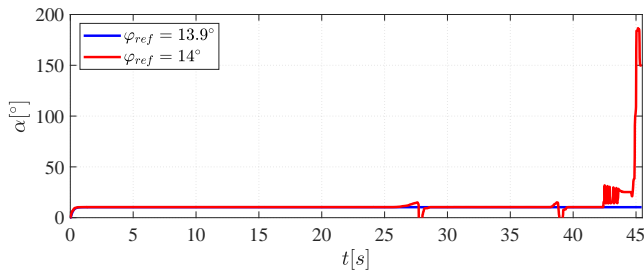
Obr. 5: Porovnanie odoziev $x[cm]$, na skoky hodnôt $\varphi_{ref}[^\circ]$.

Saturácia na vstupe bola identifikovaná:

$$\varphi_{ref} \in (-\infty; -15) \cup (15; \infty) [^\circ] \quad (32)$$

Skúmaním zadaného modelu bolo zistené, že pre $\varphi_{ref} \geq 14^\circ$ sa systém chová veľmi zvláštne a uhol $\alpha[^\circ]$ dosahuje hodnôt ťažko predstaviteľných na fyzikálnom modeli tak ako je vidno na Obr. 6. Z toho dôvodu bolo zvolené obmedzenie vstupu vo všetkých modeloch následovne:

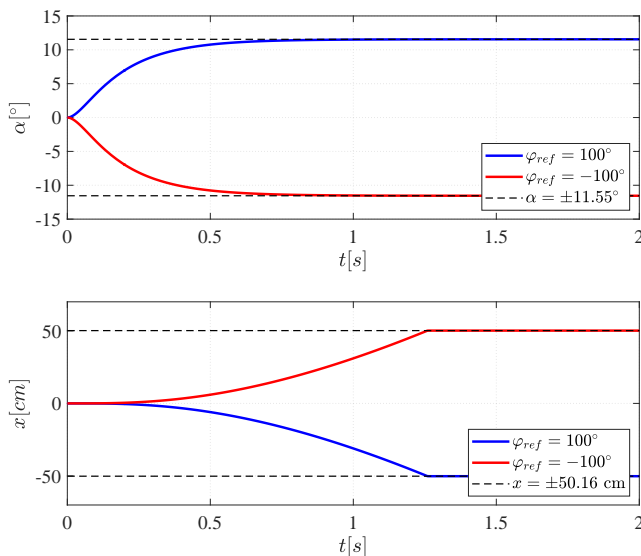
$$\varphi_{ref} \in (-14; 14) [^\circ] \quad (33)$$



Obr. 6: Porovnanie odoziev $\alpha[^\circ]$ na skoky referencie $\varphi_{ref}[^\circ]$ s hodnotami blízkymi saturácii na vstupe.

C. Saturácia na výstupe

Saturácia na výstupe určuje maximálne a minimálne hodnoty, ktoré výstupy systému môžu dosiahnuť. V našom prípade sa jedná o maximálny uhol naklonenia tyče $\alpha[^\circ]$, ktorý je obmedzený prevodovým systémom, ktorý tyč spája s pohonovým servomotorom a maximálnu vzdialenosť guľičky od stredu tyče $x[cm]$, ktorá je daná jej dĺžkou. Tieto hodnoty boli určené sledovaním ustálenej hodnoty odozvy systému pre vstup o veľkosti presahujúcej fyzikálne možnosti fyzikálneho modelu.



Obr. 7: Odozva $\alpha[^\circ]$ a $x[cm]$ na hodnotu vstupu presahujúci fyzikálne možnosti systému.

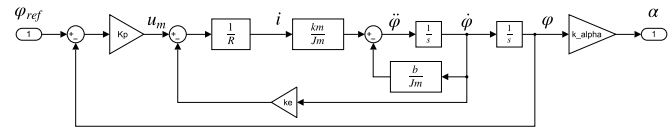
Saturácia na výstupe bola identifikovaná pre uhol naklonenia tyče $\alpha[^\circ]$ a polohu guľičky $x[cm]$:

$$\alpha \in (-\infty; -11,55) \cup (11,55; \infty) [^\circ] \quad (34)$$

$$x \in (-\infty; -50,16) \cup (50,16; \infty) [cm] \quad (35)$$

VI. IDENTIFIKÁCIA DYNAMIKY POLOHOVÉHO SERVOPOHONU

Pre identifikáciu dynamiky polohového servopohonu je potrebné najprv určiť prenos z φ_{ref} na α tohoto podsystému. Zjednodušená diferenciálna rovnica (12) pre servopohon má model:



Obr. 8: Simulink model polohového servopohonu.

Vypočítaním prenosu z φ_{ref} na α bola získaná prenosová funkcia v tvare:

$$G_1(s) = \frac{\alpha(s)}{\varphi_{ref}(s)} = \frac{k_a k_m k_p}{J_m R s^2 + (k_e k_m + R b)s + k_m k_p} \quad (36)$$

Prenosová funkcia $G_1(s)$ zo vstupu φ_{ref} na α bola vyjadrená aj z matíc zlinearizovaného stavového popisu:

$$G_1(s) = \frac{\mathbf{C} \text{adj}(\mathbf{s}\mathbf{I} - \mathbf{A})\mathbf{B}}{\det(\mathbf{s}\mathbf{I} - \mathbf{A})} = \frac{k_\alpha k_{x2u}}{s^2 - k_{x22}s - k_{x21}} \quad (37)$$

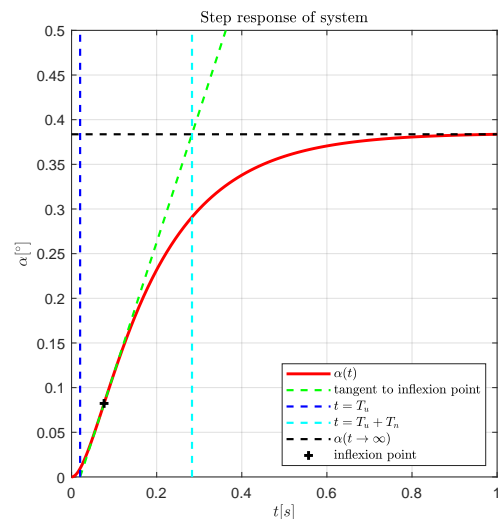
Obe vyjadrenia prenosovej funkcie sú totožné, ďalej sa bude pracovať s prenosom z rovnice (37), ktorý je vyjadrený združenými parametrami.

Jedná sa o nekmitavý prípad systému druhého rádu bez núl a prenos môže mať jeden z dvom tvarov:

$$G_{12}(s) = \frac{k}{(T_1 s + 1)(T_2 s + 1)}; \quad T_1 \neq T_2 \quad (38)$$

$$G_{11}(s) = \frac{k}{(T_1 s + 1)^2}; \quad T_1 = T_2 \quad (39)$$

O ktorý prípad sa jedná, bolo určené na základe pomeru doby nábehu T_u a doby priet'ahu T_n odozvy na skok.



Obr. 9: Identifikácia doby nábehu T_u a doby priet'ahu T_n z odozvy na skok $\varphi_{ref} = 1^\circ$

Hodnoty boli určené ako $T_u = 0,0201s$ a $T_n = 0,2629s$. Pomer $\tau = \frac{T_u}{T_n} = 0,076 < 0,1$. Takže prenos tohoto podsystému je v tvare:

$$G_1(s) = \frac{k}{(T_1 s + 1)(T_2 s + 1)} \quad (40)$$

Na zistenie hodnôt koeficientov k , T_1 , T_2 sa môže použiť Strejcova metóda, no jej vyhotovenie sa nepodarilo. Preto

bol zvolený prístup hľadania koeficientov v časovej doméne, metódou najmenších štvorcov (MATLAB Curve Fitting Toolbox). Koeficienty boli hľadané tak, aby funkcia časového priebehu $\alpha(t)$, bola totožná s nameranými údajmi odozvy na skok. Predpis funkcie $\alpha(t)$ mohol byť získaný inverznou Laplaceovou transformáciou alebo vyriešením diferenciálnej rovnice (10). Pri tejto práci, som sa odkázal na prednáškové materialy, kde bol predpis uvedený.

$$\alpha(t) = k \left(1 - \frac{T_1}{T_1 - T_2} e^{-t/T_1} - \frac{T_2}{T_2 - T_1} e^{-t/T_2} \right) \varphi_{ref}^{-1} \quad (41)$$

$$k = 0,385; \quad T_1 = 0,169s; \quad T_2 = 0.03948s$$

Parametre boli nájdené pre odozvu α na jednotkový skok. Kvôli statickému pásmu necitlivosti systému, bola hodnota vstupu 0,5, preto bolo potrebné výsledný prenos dodatočne znormovať tak, aby prenos predstavoval odozvu na jednotkový skok.

$$G_1(s) = \frac{k}{(T_1 s + 1)(T_2 s + 1)} \frac{1}{0,5} = \frac{115,3768}{s^2 + 31,24s + 149,84} \quad (42)$$

Z výsledného prenosu sa dajú identifikovať substitúované združené parametre:

$$k_{x2u} = -k_{x21} = 149,84 \quad (43)$$

$$k_{x22} = -31,24 \quad (44)$$

$$(45)$$

Keďže $k_{\alpha} k_{x2u} = 115,3768$ potom platí, že $k_{\alpha} = 0,77$.

Chovanie tohoto podsystemu sa dá aproximovať systémom prvého rádu, ktorého prenos sa určí na základe hodnoty ustáleného stavu k a časovej konštanty T_x . Odozva systému na jednotkový skok sa ustáli na hodnote $k = 0,385$, časová konštanta bola určená približne ako čas T_x , pre ktorý má odozva hodnotu $0,63\alpha(t \rightarrow \infty)$. Jej hodnota je $T_x = 0,2124s$. Aproximovaný prenos je v tvare:

$$G'_1(s) = \frac{0,77}{0,2124s + 1} \quad (46)$$

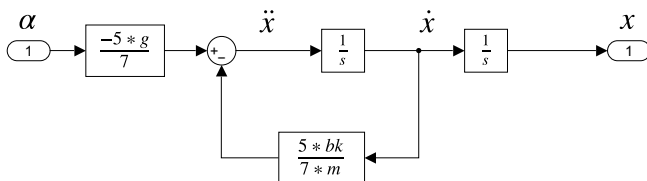
Oba identifikované prenosy, počítajú s statickým pásmom necitlivosti, kvôli ktorému sú normované, aby čo najlepšie aproximovali nelineárny systém.

VII. IDENTIFIKÁCIA DYNAMIKY GULIČKY NA TYČI

Prenosová funkcia z α na x bola určená na základe zlineari- zovanej diferenciálnej rovnice (19), ktorá je v tvare:

$$\ddot{x} = -\frac{5g}{7}\alpha - \frac{5b_k}{7m}\dot{x} \quad (47)$$

Zjednodušený systém guľičky na tyči môže byť vyjadrený schematicky ako:



Obr. 10: Zlineari- zovaný Simulink model guľičky na tyči.

Prenosová funkcia vyzerá nasledovne:

$$G_{21}(s) = \frac{x(s)}{\alpha(s)} = -\frac{5mg}{s(5b_k + 7ms)} \quad (48)$$

Prenosová funkcia $G_2(s)$ určuje prenos z α na x . Z matíc zlineari- zovaného stavového popisu môže byť vyjadrený prenos:

$$G_{22}(s) = \frac{x(s)}{\varphi(s)} = \frac{\mathbf{C} \text{adj}(\mathbf{s}\mathbf{I} - \mathbf{A})\mathbf{B}}{\det(\mathbf{s}\mathbf{I} - \mathbf{A})} \quad (49)$$

$$= \frac{k_{x41}}{s(s - k_{x44})} = -\frac{5gmk_{\alpha}}{s(5b_k + 7ms)} \quad (50)$$

Je vidno, že $G_{21}(s)$ a $G_{22}(s)$ nie sú totožné. To je spôsobené tým, že $G_{22}(s)$ bolo vyjadrené z matíc zlineari- zovaného stavového popisu, kde vstupom tohoto podsystemu je φ a nie α . Plná dynamika guľičky na tyči je závislá na dynamike polohového servopohonu, ktorý určuje náklon tyče, tak ako znázornené na Obr. 2. Plná prenosová funkcia pre polohu guľičky na tyči bola získaná spojením prenosu servopohonu $G_1(s)$ s prenosom $G_{21}(s)$ a bude značená ako $G(s)$, keďže na tejto prenosovej funkcii budeme navrhovať regulátory.

$$G(s) = \frac{x(s)}{\varphi_{ref}(s)} = G_1(s) \frac{1}{k_{\alpha}} G_{22}(s) \quad (51)$$

$$= \frac{k_{x41}k_{x2u}}{s(s - k_{x44})(s^2 - sk_{x22} + k_{x21})} \quad (52)$$

Jedná sa o prenos štvrtého rádu s integrátorom, bez núl. Presná identifikácia parametrov takéhoto systému je obtiažna a neboli dosiahnuté uspokojivé výsledky ani použitím MATLAB Curve Fitting Toolbox-om. Prenos $G_1(s)$ je známi z predošlej identifikácie. Pre parameter k_{x44} platí $k_{x41} = -\frac{5gk_{\alpha}}{7} = -5,3937$. Prenos preto môžeme upraviť na tvar:

$$G(s) = \frac{-808,19}{s(s - k_{x44})(s^2 + 31,24s + 149,84)} \quad (53)$$

Hodnotu parametru $k_{x44} = -\frac{5b_k}{7m}$ bola určená postupným skúšaním, malých záporných hodnôt, ktoré by mohli odpovedať fyzikálnej interpretácii parametru. Uspokojivé výsledky boli dosiahnuté pre $k_{x44} = -1,28$. Výsledný prenos je v tvare:

$$G(s) = \frac{-808,19}{s^4 + 32,52s^3 + 189,8272s^2 + 191,7952s} \quad (54)$$

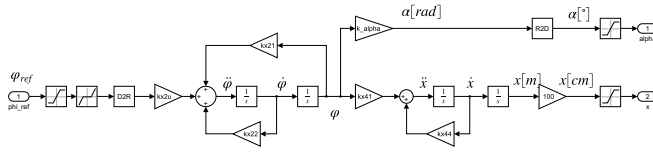
Lineárny model daný týmto prenosom bude ďalej označovaný ako lineárny model 1. Prenos $G(s)$ môžeme zjednodušiť, tým že namiesto $G_1(s)$ použijeme zjednodušený prenos $G'_1(s)$.

$$G'(s) = \frac{-5,394}{s(0,2124s^2 + 1,272s + 1,28)} \quad (55)$$

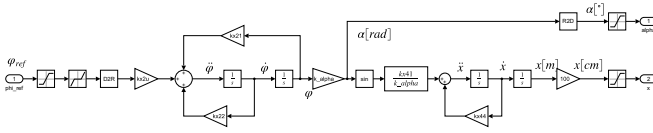
Lineárny model daný týmto prenosom budeme ďalej označovať ako lineárny model 2.

VIII. SIMULINK MODEL

Zlineari- zovaný model systému bol vytvorený zo zlineari- zovaných stavových rovníc a združených parametrov. Na Obr. 11 je lineárny model doplnený o statické nelinearity typu saturácie a pásmo necitlivosti.



Obr. 11: Simulink model zlinearizovaného systému-lineárny model 1. so statickými nelinearitami.

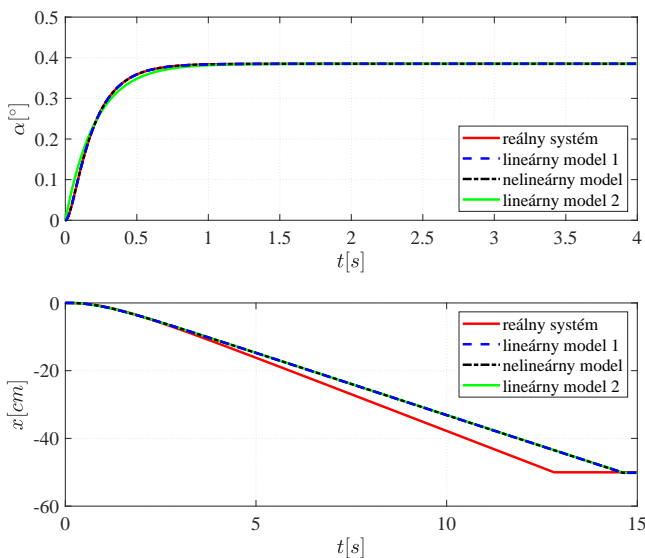


Obr. 12: Nelineárny Simulink model systému.

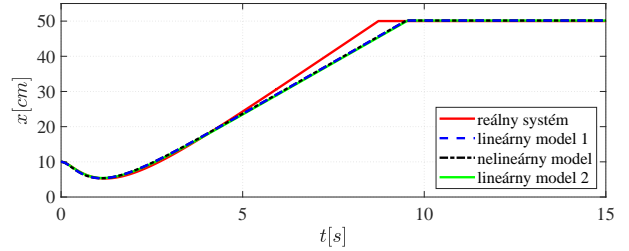
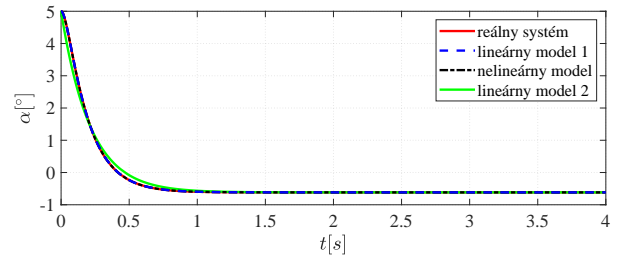
¹ Nelineárny model systému nie je úplne presný, keďže sa nepodarilo identifikovať parametre súvisiace s valivým trením guľičky, no môžeme predpokladať, že vplyv tohoto trenia je zanedbateľný.

IX. POROVNANIE MODELOV

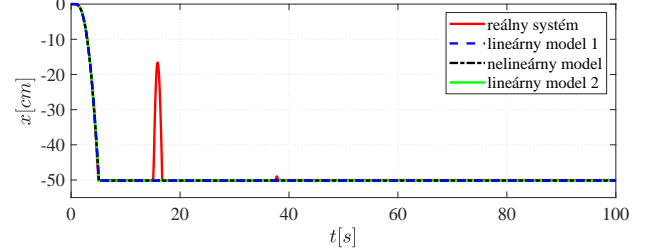
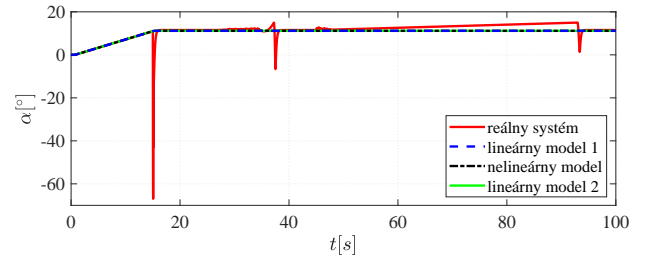
Boli prevedené porovnanie odoziev na rôzne typy referenčných signálov φ_{ref} . Reálny systém na grafoch označuje virtuálny zadávaný model systému. Lineárny model 1. označuje plne linearizovaný model, daný prenosmi (42), (54). Lineárny model 2. označuje zjednodušený zlinearizovaný model systému, daný prenosmi (46), (55).



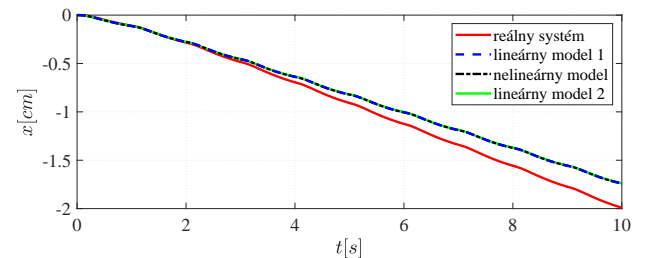
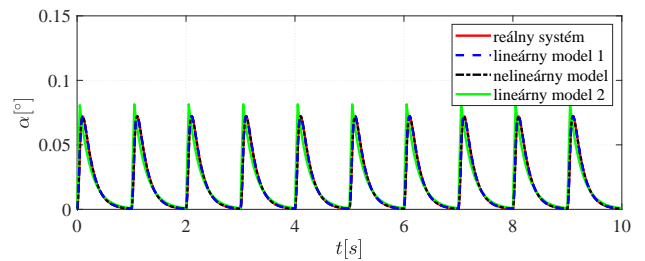
Obr. 13: Porovnanie doziev na skok $\varphi_{ref} = 1^\circ$ v čase $t = 0s$.



Obr. 14: Porovnanie odoziev na skok $\varphi = -1^\circ$ v čase $t = 0s$ pri nastavených počiatočných hodnotách: $\alpha_0 = 5^\circ$, $x_0 = 10cm$.



Obr. 15: Porovnanie odoziev na rampu vstupu φ_{ref} so sklonom 1° .



Obr. 16: Porovnanie odoziev na pulzný signál φ_{ref} , s amplitúdou 1° a frekvenciou $1Hz$.

¹Implementované Simulink modely sa nachádzajú v súbore *models.slx*

Na základe porovnaní odoziev môžeme zhodnotiť, že nájdené modely dobre aproximujú zadaný virtuálny systém. Obzvlášť v okolí pracovného bodu. Dobro aproximuje aj zjednodušený zlinearizovaný systém (lineárny model 2.). Preto ho využijeme pri návrhu regulátorov. Na Obr. 14 je vidno, že pre zadaný virtuálny systém dochádza k zvláštnym, veľkým prekonom. V tomto prípade sa môže jednať o poruchy, ktoré mohli byť naimplementované v rámci virtuálneho modelu.

V grafoch v tejto sekcii, *reálny systém* označuje virtuálny model.

X. REGULÁCIA

Cielom tejto časti je navrhnuť tri rôzne regulátory sústavy guľičky na tyči a to tromi rôznymi metódami. Regulovanou veličinou je poloha guľičky na tyči $x[cm]$. Návrhy všetkých regulátorov boli prevedené na identifikovanom, zlinearizovanom systéme.

A. PD regulátor s filtrovanou D zložkou

Pre návrh PD regulátora s filtrovanou D zložkou, bola použitá metóda rozmiestnenia pólov. Túto úlohu budeme chcieť pre jednoduchosť vyriešiť najprv manuálne algebraicky, zostavením sústavy rovníc, ktoré porovnávajú koeficienty charakteristického polynómu regulátora so sústavou v vzápätnej väzbe a požadovaného charakteristického polynómu. Potom sa na problém pozrieme z trochu iného pohľadu, pri ktorom nebudeme hľadať priamo parametre PD regulátora, ale polynóm regulátora a jeho koeficienty. V tomto prípade budeme hľadať riešenie polynomiálnymi metódami.

V oboch prípadoch sa jedná o návrh paralelného zapojenia PD regulátora a pri návrhu bola použitá zjednodušená prenosová funkcia lineárneho modelu 2. $G'(s)$ tretieho rádu, keďže sme zhodnotili, že dobre aproximuje systém a jej použitie nám výrazne zjednoduší výpočty. PD regulátor s filtrovanou D zložkou je v tvare:

$$C(s) = k_p + k_d s \frac{1}{1 + s \frac{1}{N}} = k_p + k_d s \frac{1}{1 + s T_d} \quad (56)$$

Filtrácia D zložky regulátora označuje zapojenie filtru typu dolná priepusť, seriovo s derivačnou zložkou regulátora. Jeho zapojenie odfiltruje frekvencie väčšie než medzná frekvencia $f_m [Hz]$. Keďže výstup derivačnej zložky je úmerný zmene regulačnej odchylky, vysoké frekvencie by boli zosilované viac. To je nežiadúce, keďže tým by boli zosilované všetky poruchy a šumy, preto je dôležité D zložku filtrovať. Tento filter je v tvare:

$$F(s) = \frac{\omega_m}{s + \omega_m} = \frac{2\pi f_m}{s + 2\pi f_m} \quad (57)$$

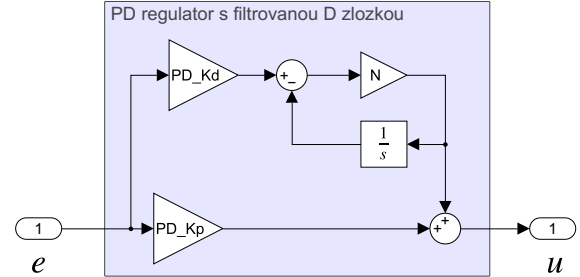
Medzná frekvencia f_m by sa mohla určiť napríklad na základe charakteristiky šumu senzorov polohy guľičky a uhlu natočenia rotora. Keďže táto znalosť nebola pri simulačnej úlohe k dispozícii, bola stanovená medzná frekvencia na približne $f_m = 20 Hz$. Preto parameter $N = \omega_m \approx 125 rad/s^2$ a $T_d \approx 0,008s$.

$$C(s) = k_p + k_d s \frac{1}{1 + 0,008s} \quad (58)$$

²Parameter N je totožný s parametrom N v Simulink PID bloku.

Týmto sme do regulátora pridali pól v $s_p = -125$. Tento pól nebude mať výrazný vplyv na dynamiku, keďže najmenej dominantným pólom identifikovaného prenosu $G(s)$ je $s_p = -25,3$. Preto PD regulátor navrhujeme samostatne.

Pri tomto regulátore sa budeme snažiť dosiahnuť čo najmenší prekrit a pri tom dostatočne krátku dobu ustálenia.



Obr. 17: Schéma PD regulátora s filtrovanou D zložkou.

1) *Klasická metóda rozmiestnenia pólov*: Bude používané značenie pre prenos $G'(s)$ ako $G(s)$ a pre prenos hľadaného regulátora bude značené $C_1(s)$.

$$G(s) = \frac{-5,394}{s(0,2124s^2 + 1,272s + 1,28)} = \frac{b(s)}{a(s)} \quad (59)$$

$$C_1(s) = k_p + k_d s \quad (60)$$

Prenos sústavy bez vzápätnej väzby je:

$$L(s) = C_1(s)G(s) = \frac{-5,394(k_p + k_d s)}{s(0,2124s^2 + 1,272s + 1,28)} \quad (61)$$

Prenos $L(s)$ je má astatizmus rádu 1. Z toho vyplýva, že je možné navrhnuť regulátor s nulovou ustálenou odchylkou na skokovú referenciu. Zapojením vzápätnej väzby získame prenos $T(s)$, ktorého charakteristický polynóm je:

$$c_1(s) = s^3 + 5,99s^2 + (6,03 - 25,39k_d)s - 25,39k_p \quad (62)$$

Požadovaný charakteristický polynóm je tretieho rádu s dvojicou komplexne združených pólov a jedným reálnym pólom, kde ω_0 je vlastná uhlová rýchlosť, ζ je koeficient tlmenia a parametrom k určujeme hodnotu pridaného pólu:

$$c_p(s) = (s + k\omega_0)(s^2 + 2\zeta\omega_0 s + \omega_0^2) \quad (63)$$

$$= s^3 + \omega_0(2\zeta + k)s^2 + \omega_0^2(1 + 2k\zeta)s + k\omega_0^3 \quad (64)$$

Porovnaním koeficientov u mocninách s charakteristického polynómu $c_1(s)$ a požadovaného polynómu $c_p(s)$ získame tri rovnice o troch neznámych.

$$\begin{aligned} s^2: & 5,99 &= \omega_0(2\zeta + k) \\ s^1: & (6,03 - 25,39k_d) &= \omega_0^2(1 + 2k\zeta) \\ s^0: & -25,39k_p &= k\omega_0^3 \end{aligned} \quad (65)$$

Pri tomto návrhu chceme dosiahnuť minimálny prekrit tj. kritické tlmenie, preto priradíme hodnotu parametru $\zeta = 1$. Zároveň pokiaľ $\zeta = 1$ a $k = 1$, potom požadovaný charakteristický polynóm $c_p(s)$ bude mať trojnásobný pól v $-\omega_0$.

$$c_p(s) = (s + \omega_0)^3 \quad (66)$$

Riešením sústavy rovníc bol identifikované parametre:

$$\omega_0 = 1,996; \quad k_p = -0,3132; \quad k_d = -0,2334 \quad (67)$$

2) *Polynómálna metóda*: Bude hľadaný regulátor v tvare:

$$C_2(s) = \frac{q(s)}{p(s)} \quad (68)$$

Charakteristický polynóm zapojenia prenosu $G(s)$ z rovnice (59) zapojený v vzápätnej väzbe s regulátorom $C_2(s)$ má charakteristický polynóm v tvare:

$$c_2(s) = a(s)p(s) + b(s)q(s) \quad (69)$$

Pre požadovaný charakteristický polynóm $c_p(s)$, je v rovnakom tvare ako v rovnici (64) a pre parametre platí: $\zeta = 1$, $k = 1$, $\omega_0 = 1,996$. Bude hľadané riešenie minimálneho stupňa pre Diofantickú rovnicu:

$$a(s)p(s) + b(s)q(s) = c_p(s) \quad (70)$$

Kde $p(s)$ a $q(s)$ je riešenie tejto rovnice. Na to aby existovalo riešenie Diofantickej rovnice, systém nesmie mať skryté módy, tj. musí existovať spoločný deliteľ $g(s)$ pre polynómy $a(s)$ a $b(s)$. Polynóm $b(s)$ je nultého stupňa, takže spoločný deliteľ $g(s)$ existuje a je rovnako polynómom nultého stupňa. Ďalšou podmienkou riešiteľnosti je nutná deliteľnosť polynómu $c(s)$ polynómom $g(s)$. Táto podmienka je v našom prípade splnená, keďže $g(s)$ je konštanta. PD regulátor je nerydzí, takže nie je potrebné sa zaoberať podmienkami pre rydzosť regulátora.

Rovnica (70) bola riešená za pomoci Matlab Toolboxu PolyX, metódou Sylvestrovej matice. Bolo nájdené riešenie minimálneho stupňa polynómov $p(s)$, $q(s)$:

$$p(s) = 4,7081; \quad q(s) = -1,5 - 1,1s \quad (71)$$

PD regulátor je v tvare:

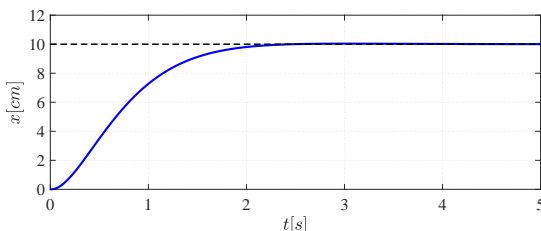
$$C_2(s) = \frac{q(s)}{p(s)} = -0,3132 - 0,2334s \quad (72)$$

Parametre regulátora sú:

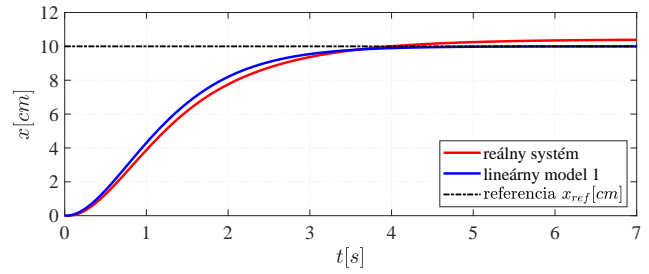
$$k_p = -0,3132; \quad k_d = -0,2334 \quad (73)$$

3) *Zhodnotenie*: Nájdené parametre sú rovnaké pre obe metódy. PD regulátor s filtrovanou D zložkou je v tvare:

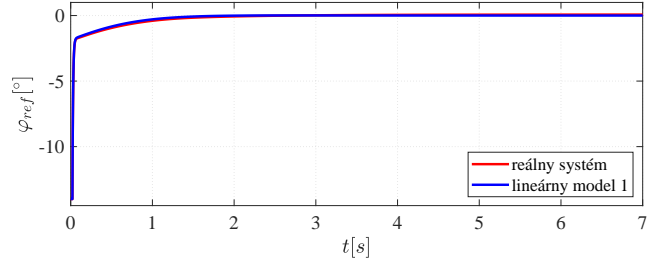
$$C(s) = -0,3132 - \frac{0,2334s}{1 + 0,008s} \quad (74)$$



Obr. 18: Odozva na skok $x_{ref} = 10\text{cm}$ v čase $t = 0\text{s}$, zjednodušeného prenosu bez saturácie akčného zásahu.

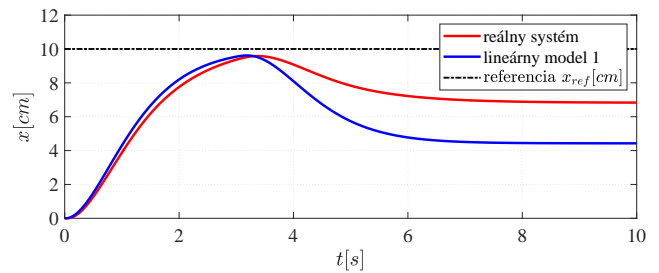


Obr. 19: Porovnanie odoziev regulovaných systémov na skok $x_{ref} = 10\text{cm}$ v čase $t = 0\text{s}$.

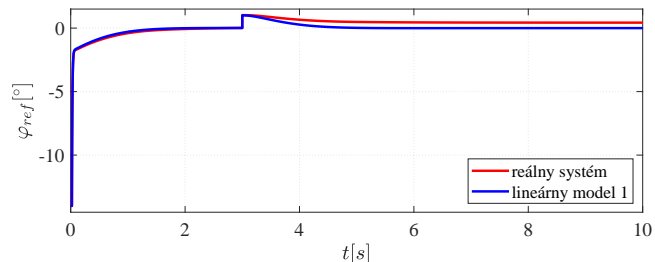


Obr. 20: Porovnanie akčných zásahov regulovaných systémov na skok $x_{ref} = 10\text{cm}$ v čase $t = 0\text{s}$.

Pre regulovaný lineárny model platí, že prekmit je 0% a doba ustálenia je 3,56s. Pre regulovaný virtuálny model je prekmit 0% avšak hodnota odozvy sa neustáli na požadovanej hodnote a regulačná odchylka nie je rovná nule. Rozdiel medzi požadovanou hodnotou ustálenia a reálnou sú 4,1%. Dôvodom je, že akčný zásah je v intervale pásma necitlivosti systému. Po ustálení odozvy je derivácia regulačnej odchylky nulová, tým pádom D zložka regulátora má nulový prínos. Hodnota k_p by sa dala vyladiť tak, aby regulačná odchylka bola nulová, avšak to sa nepovažuje za dobré riešenie, keďže pre iné situácie by mohla byť regulácia horšia.



Obr. 21: Porovnanie odoziev regulovaných systémov na skok $x_{ref} = 10\text{cm}$ v čase $t = 0\text{s}$ so skokom poruchy $\varphi_{ref} = 1^\circ$ v čase $t = 3\text{s}$.



Obr. 22: Porovnanie akčných zásahov regulovaných systémov na $x_{ref} = 10\text{cm}$ v $t = 0\text{s}$ so skokom poruchy $\varphi_{ref} = 1^\circ$ v $t = 3\text{s}$.

Skok poruchy bol podľa zadania daný na vstup sústavy. Pre PD regulátor nie je možné dosiahnuť nulovú ustálenú odchylku pri skoku poruchy. Pre ustálenú odchylku platí:

$$e(t \rightarrow \infty) = e_r(t \rightarrow \infty) + e_d(t \rightarrow \infty) \quad (75)$$

Kde $e_r(t)$ je ustálená odchylka vzhľadom k vstupu a $e_d(t)$ je ustálená odchylka vzhľadom k poruche. Keďže prenos $L(s)$ má astatizmus rádu 1, je $e_r(t \rightarrow \infty) = 0$. Pre ustálenú odchylku vzhľadom k poruche na vstupe platí:

$$e_d(t \rightarrow \infty) = - \lim_{s \rightarrow 0} \frac{sG(s)}{1 + C(s)G(s)} d(s) \quad (76)$$

Kde $d(s)$ je porucha na vstupe sústavy. Pokiaľ sa jedná o skokovú poruchu: $d(s) = \frac{1}{s}$.

$$e_d(t \rightarrow \infty) = - \lim_{s \rightarrow 0} \frac{G(s)}{1 + C(s)G(s)} = \frac{6,904}{2,162} \neq 0 \quad (77)$$

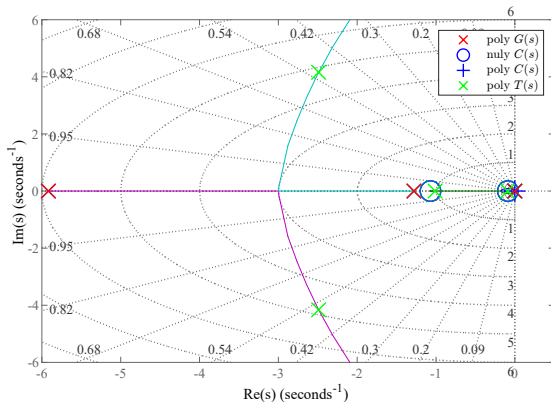
Z toho vyplýva, že nie je možné navrhnuť PD regulátor pre túto sústavu tak, aby ustálená odchylka pri skoku poruchy bola rovná nule.

B. PID regulátor s filtrovanou D zložkou a Anti-Windup

1) *Návrh regulátora:* PID regulátor bude navrhnutý v paralelnom zapojení. Filtrovanie D zložky bude totožné s predošlým príkladom. Návrh bude prevedený metódou Root Locus (geometrickým umiestnením koreňov). Pri návrhu budeme pracovať s identifikovaným prenosom lineárneho modelu 1. $G(s)$, ktorý je daný rovnicou (54). PID regulátor je v tvare:

$$C(s) = k_p + k_d s + k_i \frac{1}{s} = \frac{k_d s^2 + k_p s + k_i}{s} \quad (78)$$

Geometrickým návrhom budú nuly regulátora umiestnené tak, aby sme stabilizovali prenos vzápätnej väzby. Súčasne chceme ovplyvniť dynamiku sústavy tak, aby sme dosiahli čo najkratší čas ustálenia, za dodržania maximálneho prekmitu 20%.



Obr. 23: Root Locus - geometrické miesto koreňov dominantnej dynamiky.

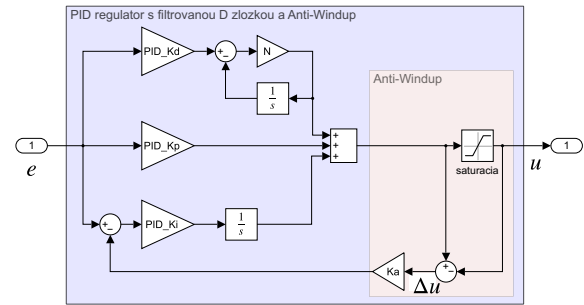
Návrh bol prevedený za pomoci nástroja Control System Designer. Póly regulovanej sústavy vo vzápätnej väzbe $T(s)$, sú zobrazené na Obr. 23. Nájdenný PID regulátor je v tvare:

$$C(s) = -0,8646 - 0,7461s - 0,07093 \frac{1}{s} \quad (79)$$

Nájdenné parametre:

$$k_p = -0,8646; \quad k_d = -0,7461; \quad k_i = -0,07093 \quad (80)$$

U systémov so saturáciou akčného člena, spôsobuje integrálna zložka regulátora problém tzv. Windup. Pokiaľ dôjde k saturácii a regulačná odchylka je dosť veľká, výstup integračného člena sa bude zvyšovať, no akčný zásah zostane rovnaký. Keď výstupná hodnota presiahne hodnotu referenčnú, zmení sa znamienko regulačnej odchylky a výstup integračnej zložky začne klesať. Táto doba trvá pokiaľ výstup integrálnej zložky sa neznižuje pod hodnotu saturácie akčného člena. To môže mať za následok veľký prekmit pri skokových zmenách. Tento problém je riešený zapojením Anti-Windup obvodu, ktorý obmedzí integrálnu akciu akonáhle dôjde k saturácii.



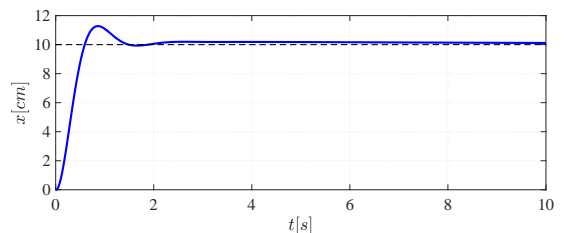
Obr. 24: Schéma PID regulátora s filtrovanou D zložkou a Anti-Windup.

Pre Anti-Windup bude použitá metóda vzápätneho výpočtu (back-calculation). Na základe blokovej schémy na Obr. 24, je $\Delta u = 0$, pokiaľ výstup regulátora je menší než saturácia na akčnom člene. Akonáhle dôjde k saturácii $\Delta u > 0$ a prenos regulátora je:

$$C_w(s) = \frac{k_d s^2 + k_p s + k_i}{s + k_A k_i} \quad (81)$$

Hodnota parametru k_A bola stanovená ako $k_A = \frac{|s_{pd}|}{k_i}$, kde s_{pd} je dominantný pól regulovanej sústavy v vzápätnej väzbe $T(s)$. Týmto obmedzíme integračnú časť regulátora.³

2) *Zhodnotenie:* Odozva lineárneho modelu má výrazne nižšiu dobu ustálenia ako virtuálny systém. Navrhnutý PID regulátor má nulovú ustálenú odchylku a to aj pre skok poruchy na vstupe systému.



Obr. 25: Odozva na skok $x_{ref} = 10\text{cm}$ v čase $t = 0\text{s}$, zjednodušeného prenosu bez saturácie akčného zásahu a bez Anti-Windup.

³Vzťah na výpočet k_A je na základe materiálov z cvičení.

Kde \mathbf{K} je stavový regulátor a K_I je parameter integrálneho riadenia. Rovnice môžu byť prepísané do tvaru:

$$\begin{pmatrix} \ddot{a} \\ \dot{a}_I \end{pmatrix} = \begin{pmatrix} \mathbf{A} & \mathbf{0} \\ -\mathbf{C} & 0 \end{pmatrix} \begin{pmatrix} \vec{a} \\ a_I \end{pmatrix} + \begin{pmatrix} \mathbf{B} \\ 0 \end{pmatrix} u + \begin{pmatrix} \mathbf{0} \\ 1 \end{pmatrix} x_{ref} \quad (88)$$

$$= \mathbf{A}_{celk} \begin{pmatrix} \vec{a} \\ a_I \end{pmatrix} + \mathbf{B}_{celk} u + \begin{pmatrix} \mathbf{0} \\ 1 \end{pmatrix} x_{ref} \quad (88)$$

$$x = \begin{pmatrix} \mathbf{C} & 0 \end{pmatrix} \begin{pmatrix} \vec{a} \\ a_I \end{pmatrix} = \mathbf{C}_{celk} \begin{pmatrix} \vec{a} \\ a_I \end{pmatrix} \quad (89)$$

$$u = -\mathbf{K}\vec{a} - K_I a_I = -\mathbf{K}_{celk} \begin{pmatrix} \vec{a} \\ a_I \end{pmatrix} \quad (90)$$

Kde $\mathbf{K}_{celk} = \begin{pmatrix} \mathbf{K} & K_I \end{pmatrix}$. Dosadením vzťahu (90) do vzťahu (88) získame rovnicu popisujúcu rozšírený stavový popis:

$$\begin{pmatrix} \ddot{a} \\ \dot{a}_I \end{pmatrix} = (\mathbf{A}_{celk} - \mathbf{B}_{celk} \mathbf{K}_{celk}) \begin{pmatrix} \vec{a} \\ a_I \end{pmatrix} + \begin{pmatrix} \mathbf{0} \\ 1 \end{pmatrix} x_{ref} \quad (91)$$

Vlastné čísla matice $\mathbf{A}_{reg} = \mathbf{A}_{celk} - \mathbf{B}_{celk} \mathbf{K}_{celk}$ udávajú póly regulovanej sústavy. Pokiaľ navrhujeme požadovaný charakteristický polynóm $c(s)$ rozmiestnením pólov, koeficienty \mathbf{K}_{celk} môžeme vypočítať porovnaním polynómov:

$$\det(\mathbb{1}s - \mathbf{A}_{reg}) = c(s) \quad (92)$$

Pre návrh $c(s)$ platí: $\zeta = \frac{-\ln(OS/100)}{\pi^2 + \ln((OS/100)^2)}$ a $\omega = \frac{4}{\zeta T_s}$. Kde OS je požadovaný maximálny prechyt 5% a T_s je požadovaná doba ustálenia 2s. Bol pridaný pól $s_p = -100$, tak aby neovplyvnil dominantnú dynamiku.

$$c(s) = (s^2 + 2\zeta\omega s + \omega^2)(s + 100) \quad (93)$$

Pre jednoduchosť, \mathbf{K}_{celk} bolo vypočítané Ackermannovým vzorcom:⁵

$$\mathbf{K}_{celk} = \begin{pmatrix} 0 & 0 & 0 & 1 \end{pmatrix} \mathbf{C}_{celk}^{-1} c(\mathbf{A}_{celk}) \quad (94)$$

Kde \mathbf{C}_{celk} je matica riaditeľnosti, vytvorená z rozšírených matic s označením *celk*. Výpočtom boli získané hodnoty regulačných parametrov:

$$\mathbf{K} = \begin{pmatrix} 1 & 104 & 408,4 \end{pmatrix}; \quad K_I = 33,073 \quad (95)$$

Pre pozorovateľa bude značený vektor aproximovaných stavových premenných ako \vec{a}' . Podľa schémy z Obr. 30 platí:

$$\dot{\vec{a}}' = \mathbf{A}\vec{a}' + \mathbf{B}u + \mathbf{L}(x - x') \quad (96)$$

$$x' = \mathbf{C}\vec{a}' \quad (97)$$

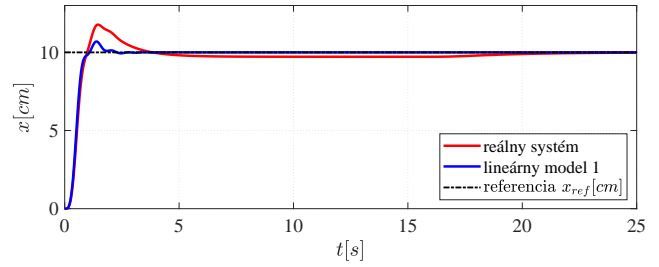
Kde \mathbf{L} je vektor zosilnenia pozorovateľa. Z duality kanonickej formy riaditeľnosti a kanonickej formy pozorovateľnosti, môžeme využiť Ackermannov vzorec pre pozorovateľa:

$$\mathbf{L} = c_{poz}(\mathbf{A})\mathcal{O}^{-1} \begin{pmatrix} 0 & 0 & 1 \end{pmatrix}^T \quad (98)$$

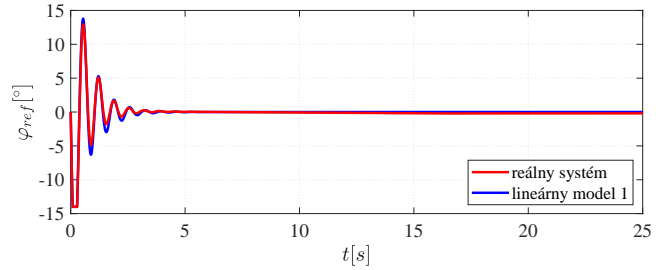
\mathcal{O} je matica pozorovateľnosti daná rovnicou (85). $c_{poz}(\mathbf{A})$ označuje dosadenie matice \mathbf{A} do požadovaného charakteristického polynómu pozorovateľa. Póly pozorovateľa volíme dvakrát menšie než póly regulátora, aby pozorovateľ nezpomaloval dynamiku.

$$\mathbf{L} = \begin{pmatrix} -0,7860 & 0,1571 & -0,0394 \end{pmatrix}^T \quad (99)$$

⁵Za použitia Matlab Toolboxu PolyX.

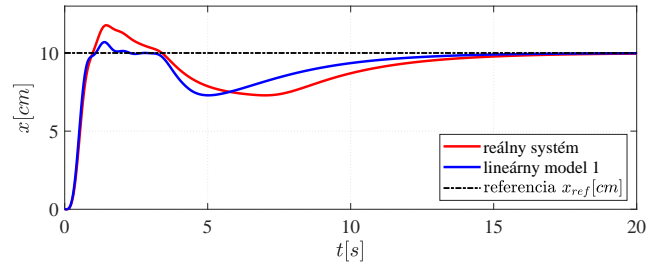


Obr. 31: Porovnanie odoziev regulovaných systémov na skok $x_{ref} = 10\text{cm}$ v čase $t = 0\text{s}$.

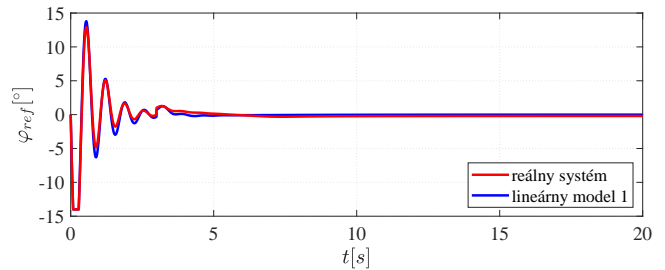


Obr. 32: Porovnanie akčných zásahov regulovaných systémov pre skok $x_{ref} = 10\text{cm}$ v čase $t = 0\text{s}$.

2) *Zhodnotenie:* Regulovaný lineárny model má prechyt 6,9% a dobu ustálenia 1,69s. Regulovaný virtuálny model má prechyt 17,75% a dobu ustálenia odozvy na 2% referenčnej hodnoty je 18,65s. Táto dlhá doba je zapríčinená pásmom necitlivosti systému. Doba ustálenia odozvy na 5% referenčnej hodnoty je 2,75s.



Obr. 33: Porovnanie odoziev regulovaných systémov na skok $x_{ref} = 10\text{cm}$ v čase $t = 0\text{s}$ so skokom poruchy $\varphi_{ref} = 1^\circ$ v čase $t = 3\text{s}$.



Obr. 34: Porovnanie akčných zásahov regulovaných systémov pre $x_{ref} = 10\text{cm}$ v $t = 0\text{s}$ so skokom poruchy $\varphi_{ref} = 1^\circ$ v $t = 3\text{s}$.

Pre navrhnutý stavový regulátor je ustálená odchylka pri skoku poruchy na vstupe rovná nule a to za výrazne kratšiu dobu ako pri navrhnutom PID regulátore.

XI. ZÁVER

V tejto práci sa úspešne podarilo nájsť správne diferenciálne rovnice, ktoré popisujú zadaný Simulink model Guličky na tyči. Bol vytvorený stavový popis modelu a jeho lineárna aproximácia. V rámci identifikácie boli nájdené približné hodnoty združených parametrov. Nelineárny model nebol presne vytvorený, keďže neboli identifikované hodnoty parametrov súvisiacich s valivým trením guličky a bola predpokladaná zanedbateľnosť ich vplyvu. Avšak je možné, že nepresnosť aproximácia polohy guličky $x[cm]$ (Obr. 13) je spôsobená práve týmto zanedbaním.

Každý regulátor bol úspešne navrhnutý inou metódou tak, aby spĺňali zadané požiadavky. PID a stavový regulátor dosahujú nulovú ustálenú regulačnú odchylku a to aj pri skoku poruchy na vstupe sústavy. PD regulátor dosahuje nulového prekmitu za pomerne rýchlu dobu ustálenia. PID regulátor bol navrhnutý tak, aby stabilizoval guličku za čo najkratšiu dobu, avšak pri regulácii virtuálneho modelu je doba ustálenia najdlhšia zo všetkých regulátorov. Keďže sa jednalo o geometrický návrh metódou Root Locus a korene boli umiesňované manuálne na S-rovine, bolo by určite možné nájsť lepší PID regulátor. Kvôli blížiacemu sa termínu odovzdania tejto práce sme sa však uspokojili s uvedeným regulátorom. Stavový regulátor s pozorovateľom má najkratšiu dobu ustálenia odozvy a to aj na skok poruchy. Na druhú stranu, má najvyššie prekmity pri sledovaní skokovej referencie.

LITERATÚRA

- [1] Ben Cazzolato. Derivation of the dynamics of the ball and beam system. 01 2007.
- [2] Gene F. Franklin, David J. Powell, and Abbas Emami-Naeini. *Feedback Control of Dynamic Systems*. Prentice Hall PTR, USA, 4th edition, 2001.

DODATOK A
PREČO SI MYSLÍM, ŽE V ZADANÍ JE CHYBA

V tejto sekcii sa budem venovať iba podsystému, ktorý zaručuje prenos referenčného uhlu na uhol naklonenia tyče α . Podľa zadania je vstupom systému referenčný uhol naklonenia tyče α_{ref} a diferenciálne rovnice systému následovné:

$$L \frac{di(t)}{dt} = -Ri(t) - k_e \dot{\varphi}(t) + k_p (\alpha_{ref}(t) - \alpha(t)) \quad (100)$$

$$J_m \ddot{\varphi}(t) = k_m i(t) - b \dot{\varphi}(t) \quad (101)$$

ktoré je možné zjednodušiť na:

$$J_m \ddot{\varphi}(t) + \left(\frac{k_m k_e}{r} + b \right) \dot{\varphi}(t) = \frac{k_m k_p (\alpha_{ref}(t) - \alpha(t))}{R} \quad (102)$$

Rovnice pre pohyb guľičky na tyči sú totožné ako v sekcii II.

Pokiaľ by som sa držal zadania, zostavil by som stavové rovnice a poprípade matice:

$$u = \alpha_{ref}; \quad u = \alpha_{ref}; \quad (103)$$

$$x_1 = \varphi; \quad \dot{x}_1 = x_2; \quad (104)$$

$$x_2 = \dot{\varphi}; \quad \dot{x}_2 = -\frac{k_m k_p k_\alpha}{R J_m} x_1 - \left(\frac{k_m k_e}{R J_m} + \frac{b}{J_m} \right) x_2 + \frac{k_m k_p}{R J_m} u; \quad (105)$$

$$y_1 = \alpha; \quad y_1 = k_\alpha x_1 \quad (106)$$

$$\mathbf{A} = \begin{pmatrix} 0 & 1 \\ -\frac{k_\alpha k_m k_p}{J_m R} & -\frac{b}{J_m} - \frac{k_m k_p}{J_m R} \end{pmatrix} = \begin{pmatrix} 0 & 1 \\ k_{x21} & k_{x22} \end{pmatrix}; \quad \mathbf{C} = \begin{pmatrix} k_\alpha & 0 \\ 0 & 0 \end{pmatrix}; \quad (107)$$

$$\mathbf{B} = \begin{pmatrix} 0 \\ \frac{k_m k_p}{J_m R} \end{pmatrix} = \begin{pmatrix} 0 \\ k_{x2u} \end{pmatrix}; \quad \mathbf{D} = \begin{pmatrix} 0 \end{pmatrix} \quad (108)$$

Prenos tohoto podsystému vyjadrený napríklad z matíc stavového popisu je:

$$G(s) = \frac{\mathbf{C} \text{adj}(s\mathbf{I} - \mathbf{A})\mathbf{B}}{\det(s\mathbf{I} - \mathbf{A})} = \frac{k_\alpha k_{x2u}}{s^2 - k_{x22}s - k_{x21}} \quad (109)$$

Tento systém bude mať zosilnenie, pre $t \rightarrow \infty$:

$$k = \frac{k_\alpha k_{x2u}}{-k_{x21}} = \frac{k_\alpha \frac{k_m k_p}{R J_m}}{\frac{k_m k_p k_\alpha}{R J_m}} = 1 \quad (110)$$

Pokiaľ zoberiem do úvahy, že systém má pásmo necitlivosti na intervale pre vstup: $\alpha_{ref} \in \langle -0,2, 0,5 \rangle = \langle \alpha_{min+}, \alpha_{min-} \rangle [^\circ]$, tak ustálená hodnota α by mala byť pri jednotkovom skoku α_{ref} rovná približne $0,5^\circ$. V skutočnosti, ako je vidieť na grafoch v sekcii IX, je hodnota α z dodaného virtuálneho modelu systému rozdielna. To platí aj pre ostatné veľkosti α_{ref} .

Výsledná ustálená hodnota α je daná vzťahom:

$$\alpha_{t \rightarrow \infty} = (\alpha_{ref} - \alpha_{min}) 0,77 \quad (111)$$

Takže existuje pevný prevod medzi α_{ref} a α . To môže nasvedčovať, že vstupom systému nie je referenčný uhol naklonenia tyče, ale referenčný uhol naklonenia hriadele polohového servopohonu. (Poprípade, že vstupom je referenčný uhol naklonenia tyče a výstupom je uhol naklonenia hriadele servopohonu φ).

Keďže je zadané, že medzi uhlom hriadele servopohonu a uhlom naklonenia tyče, je pevný vzťah, potom môžem predpokladať, že tento vzťah platí aj pre referenčné hodnoty.

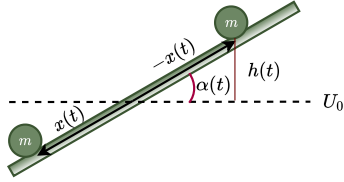
$$\alpha_{ref} = k_\alpha \varphi_{ref} \quad (112)$$

To znamená, že by malo platiť: $k_\alpha = 0,77$. K tejto hodnote som dospel aj pri postupe uvedenom v tejto práci, v ktorej som považoval α_{ref} za φ_{ref} z uvedených dôvodov.

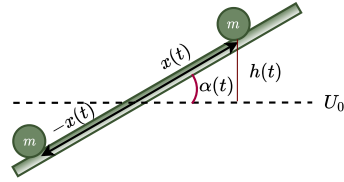
DODATOK B

SPRÁVNÁ DIFERENCIÁLNA ROVNICA POHYBU GULIČKY NA TYČI

V tejto časti bude odvodená diferenciálna rovnica popisujúca chovanie guľičky na tyči pomocou Lagrangeových rovníc. Z odoziev Simulink modelu (Sekcia IX), ktorý bol zadaný, je znateľné, že pri kladných hodnotách uhlu náklonu tyče $\alpha[^\circ]$, sa guľička pohybuje smerom k jej ľavému okraju a vzdialenosť $x[cm]$ klesá do záporných hodnôt. Podľa diferenciálnych rovníc guľičky na tyči, ktoré boli súčasťou zadania, by však mal platiť opak.



(a) Nákres podľa písomného zadania.



(b) Nákres podľa chovania zadaného Simulink modelu.

Obr. 35: Nákres fyzikálneho modelu guľičky na tyči.

$$\sin \alpha = \frac{h}{x} \rightarrow h = x \sin \alpha \quad (113)$$

Pre kinetickú energiu T platí:

$$T = \frac{1}{2} m \dot{x}^2 + \frac{1}{2} J_b \omega^2, \text{ kde } \dot{x} = r \omega \quad (114)$$

$$T = \frac{1}{2} \dot{x}^2 \left(m + \frac{J_b}{r^2} \right) \quad (115)$$

Kde ω je uhlová rýchlosť guľičky. Poloha guľičky, pre ktorú má nulovú potenciálnu energiu je na Obr. 35 označená ako U_0 . Pokiaľ je poloha guľičky pod U_0 , jej hodnota potenciálnej energie je záporná a naopak. Pre potenciálnu energiu U platí:

$$U_b = h m g = m g x \sin \alpha \quad (116)$$

Podľa chovania Simulink modelu (Obr. 35 (b)) je hodnota U záporná pokiaľ poloha guľičky je pod osou U_0 (ak $\alpha > 0$, potom $x < 0$, teda $U < 0$ a ak $\alpha < 0$, potom $x > 0$, teda $U < 0$). Pre tento prípad zostavím Lagrangeové rovnice $\mathcal{L} = T - U$:

$$\mathcal{L} = \frac{1}{2} \dot{x}^2 \left(m + \frac{J_b}{r^2} \right) - m g x \sin \alpha; \quad \frac{d\mathcal{L}}{dt} \left(\frac{\partial \mathcal{L}}{\partial \dot{x}} \right) + b_k \dot{x} + \text{sign } \dot{x} \xi_k \frac{m g}{r} - \frac{\partial \mathcal{L}}{\partial x} = 0 \quad (117)$$

Táto rovnica bola vytvorená za pomoci literatúry [1]. Jednotlivé derivácie boli vyjadrené: $\frac{d\mathcal{L}}{dt} \left(\frac{\partial \mathcal{L}}{\partial \dot{x}} \right) = \ddot{x} \left(m + \frac{J_b}{r^2} \right)$ a $\frac{\partial \mathcal{L}}{\partial x} = -m g \sin \alpha$. Diferenciálna rovnica popisujúca pohyb guľičky po tyči pre zadaný Simulink model je v tvare:

$$\ddot{x} \left(m + \frac{J_b}{r^2} \right) = -m g \sin \alpha - b_k \dot{x} - \text{sign } \dot{x} \xi_k \frac{m g}{r} \quad (118)$$

V prípade písomného zadania (Obr. 35a (a)) avšak platí, že ak poloha guľičky je pod osou U_0 , jej potenciálna energia je kladná (ak $\alpha > 0$, potom $x > 0$, teda $U > 0$ a ak $\alpha < 0$, potom $x < 0$, teda $U > 0$). Z fyzikálnej podstaty potenciálnej energie by mal platiť opak. Preto $U_a = -m g x \sin \alpha$. Zostavením Lagrangeovej rovnice platí: $\frac{\partial \mathcal{L}}{\partial x} = m g \sin \alpha$. Diferenciálna rovnica popisujúca pohyb guľičky po tyči, vypočítaná pre (Obr. 35a (a)):

$$\ddot{x} \left(m + \frac{J_b}{r^2} \right) = m g \sin \alpha - b_k \dot{x} - \text{sign } \dot{x} \xi_k \frac{m g}{r} \quad (119)$$

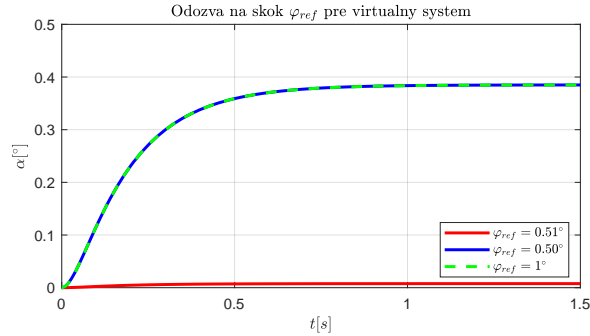
Táto rovnica je totožná s rovnicou danou v písomnom zadaní. Avšak neodpovedá virtuálnemu Simulink modelu, preto pri tejto semestrálnej práci bola používaná diferenciálna rovnica pohybu guľičky (118).

DODATOK C

ĎALŠIE OBJAVENÉ ZVLÁŠTNOSTI VIRTUÁLNEHO MODELU

A. "Zvláštna nelinearita"

Bola pozorované zvláštne chovanie modelu pre vstupnú hodnotu $\varphi_{ref} = 0,5^\circ$. Odozva virtuálneho modelu, je pre tento prípad totožná ako odozva na $\varphi_{ref} = 1^\circ$.



Obr. 36: Porovnanie odoziev na skok v okolí pásma necitlivosti a jednotkového skoku.

B. Problém s inicializačnými hodnotami

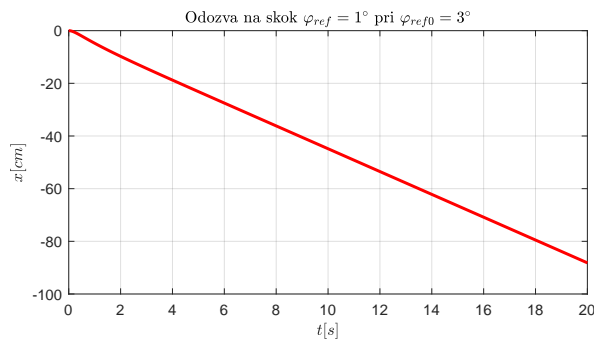
Nastavenie počiatočnej hodnoty uhla systému, by mala byť možná do hodnoty pásma saturácie, avšak testovaním sa zistilo, že hodnoty počiatočných podmienok pre φ_{ref} sú ohraňované na intervale $(-7, 7)$. Pri nastavení hodnôt mimo tento interval, model vypíše error:

```
Error evaluating registered method 'CheckParameters' of MATLAB S-Function 'ballBeam_msfcn' in
'models/BALL & BEAM VR Model2/level-2 M-file S-Function'. The following is the MATLAB call stack
(file names and line numbers) that produced this error:
['C:\Users\juro\uni\04\ARI\SEM\ball_on_beam\scripts\ballBeam_msfcn.p'] [0]
Caused by:
• Initial beam angle 'alpha(0)' out of bounds
Component: Simulink | Category: Block error
```

Obr. 37: Error pri nastavení počiatočnej hodnoty pre $\varphi_{ref} > 7^\circ$.

C. Prerazenie pásma saturácie

V špecifických situáciach, dochádza pre výstupnú hodnotu x virtuálneho systému k prerazeniu pásma saturácie, čo nie je fyzicky možné, keďže tyč by mala mať obmedzenú dĺžku ($1m$). Tento jav som spozoroval napríklad pri nastavení počiatočných hodnôt uhla φ_{ref} na hodnoty $\geq 3^\circ$. Alebo keď bol MATLAB "unavený" (stretol som sa s tým aj, pokiaľ neboli zadané inicializačné hodnoty, avšak tento problém sa mi nepodarilo zreprodukovať).



Obr. 38: Odozva na jednotkový skok pri nastavení počiatočnej hodnoty pre $\varphi_{ref} = 3^\circ$.